

TP N° 2 - Análisis Dinámico de un Robot e implementación en FPGA.	Página 1 de 11
	Asade - Rosende - Villafañe

TRABAJO PRÁCTICO N° 2

Análisis Dinámico de un Robot e implementación en FPGA

Alumnos:

- **Jorge, Asade.**
- **Rosende, Alejandro.**
- **Villafañe, Melisa.**

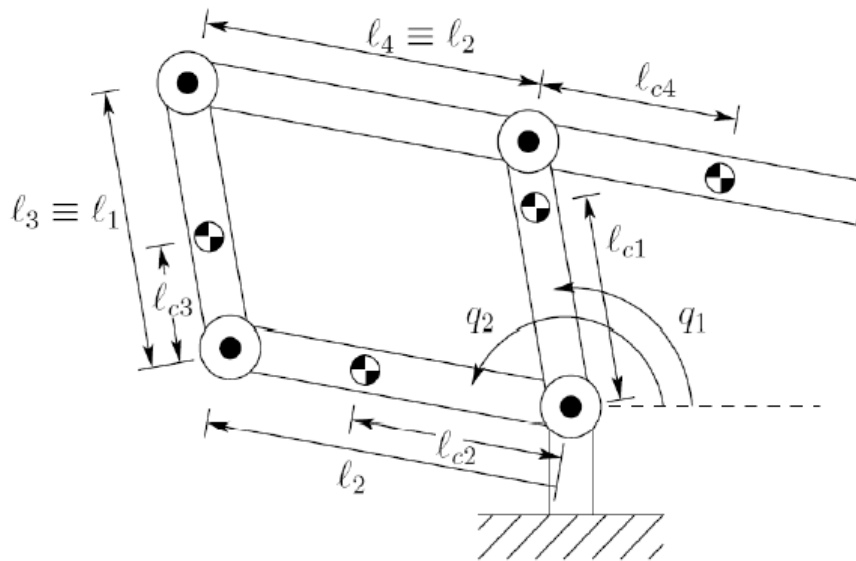
Profesor: Ing. H. Giannetta.

Análisis Dinámico de un Robot e implementación en FPGA.

Introducción sobre dinámica del robot.

Introducción

El diseño y control del manipulador “**Five Bar Linkage**” se divide en tres partes cinemática, dinámica y control. En este TP realizaremos el análisis dinámico de la estructura mecánica.



Este sistema presenta la ventaja de que eligiendo correctamente la longitud de los lados se simplifican las ecuaciones de forma que se puede obtener dos ecuaciones independientes entre si de q_1 y q_2 .

TP N° 2 - Análisis Dinámico de un Robot e implementación en FPGA.	Página 3 de 11
	Asade - Rosende - Villafañe

Análisis dinámico

Datos:

- $l_1 = l_3 = 13.5cm$
- $l_2 = l_4 = 7.5cm$
- $l_{C1} = l_{C3} = 6.75cm$
- $l_{C2} = 3.75cm$
- $l_{C4} = 5.625cm$
- $m_1 = m_3 = 1.5kg$
- $m_2 = m_4 = 1kg$

Para desarrollar el análisis dinámico vamos a asumir:

$$l_1 = l_3 \wedge l_2 = l_4$$

Si bien las longitudes deben coincidir, los centros de masa no tienen esta limitación.

$$L_{C1} \neq L_{C3}$$

Para el análisis dinámico utilizamos el enfoque energético de Lagrange-Euler.

2. Ecuaciones de los centros de masa:

$$\begin{bmatrix} X_{C1} \\ Y_{C1} \end{bmatrix} = \begin{bmatrix} l_{C1} \cos(q_1) \\ l_{C1} \sin(q_1) \end{bmatrix}$$

$$\begin{bmatrix} X_{C2} \\ Y_{C2} \end{bmatrix} = \begin{bmatrix} l_{C2} \cos(q_2) \\ l_{C2} \sin(q_2) \end{bmatrix}$$

$$\begin{bmatrix} X_{C3} \\ Y_{C3} \end{bmatrix} = \begin{bmatrix} l_{C2} \cos(q_2) \\ l_{C2} \sin(q_2) \end{bmatrix} + \begin{bmatrix} l_{C3} \cos(q_1) \\ l_{C3} \sin(q_1) \end{bmatrix}$$

$$\begin{bmatrix} X_{C4} \\ Y_{C4} \end{bmatrix} = \begin{bmatrix} l_{C1} \cos(q_1) \\ l_{C1} \sin(q_1) \end{bmatrix} + \begin{bmatrix} l_{C4} \cos(q_2 - \pi) \\ l_{C4} \sin(q_2 - \pi) \end{bmatrix}$$

$$\begin{bmatrix} X_{C4} \\ Y_{C4} \end{bmatrix} = \begin{bmatrix} l_{C1} \cos(q_1) \\ l_{C1} \sin(q_1) \end{bmatrix} - \begin{bmatrix} l_{C4} \cos(q_2) \\ l_{C4} \sin(q_2) \end{bmatrix}$$

TP N° 2 - Análisis Dinámico de un Robot e implementación en FPGA.	Página 4 de 11
	Asade - Rosende - Villafañe

3. Cálculo de las velocidades en función de los centros de masa:

$$v_{C1} = \begin{bmatrix} -l_{C1} \sin(q_1) & 0 \\ l_{C1} \cos(q_1) & 0 \end{bmatrix} \dot{q}$$

$$v_{C2} = \begin{bmatrix} 0 & -l_{C2} \sin(q_2) \\ 0 & l_{C2} \cos(q_2) \end{bmatrix} \dot{q}$$

$$v_{C3} = \begin{bmatrix} -l_{C3} \sin(q_1) & -l_{C2} \sin(q_2) \\ l_{C3} \cos(q_1) & l_{C2} \cos(q_2) \end{bmatrix}$$

$$v_{C4} = \begin{bmatrix} -l_{C1} \sin(q_1) & l_{C4} \cos(q_2) \\ l_{C1} \cos(q_1) & -l_{C4} \sin(q_2) \end{bmatrix}$$

4. En las velocidades angulares de los cuatro enlaces es evidente que:

$$\omega_1 = \omega_3 = q_1 k, \omega_2 = \omega_4 = q_4 k$$

5. La matriz inercia está dada por:

$$D(q) = \sum_{i=1}^4 m_i J_{vc}^T J_{vc} + \begin{bmatrix} I_1 + I_3 & 0 \\ 0 & I_2 + I_4 \end{bmatrix}$$

6. Sustituyendo en la ecuación lo obtenido en el punto 2, obtenemos

$$d_{11}(q) = m_1 l_{C1}^2 + m_3 l_{C3}^2 + m_4 l_1^2 + I_1 + I_3$$

$$d_{12}(q) = d_{21}(q) = (m_3 l_2 l_{C3} - m_4 l_1 l_{C4}) \cos(q_2 - q_1)$$

$$d_{22}(q) = m_2 l_{C2}^2 + m_3 l_2^2 + m_4 l_{C4}^2 + I_2 + I_4$$

$$I_1 = I_3 = l_{C1}^2 \cdot m_1 = 0.0068 \text{ kg} \cdot \text{m}^2$$

$$I_2 = l_{C2}^2 \cdot m_2 = 0.0014 \text{ kg} \cdot \text{m}^2$$

$$I_4 = l_{C4}^2 \cdot m_4 = 0.0032 \text{ kg} \cdot \text{m}^2$$

$$d_{11}(q) = 0.0455 \text{ kg} \cdot \text{m}^2$$

$$d_{22}(q) = 0.013 \text{ kg} \cdot \text{m}^2$$

7. Considerando la condición

$$m_3 l_2 l_{C3} = m_4 l_1 l_{C4}$$

$$m_3 l_2 l_{C3} = 75.9375 \text{ kg} \cdot \text{cm}^2$$

$$m_4 l_1 l_{C4} = 75.9375 \text{ kg} \cdot \text{cm}^2$$

Esta condición se debe cumplir siempre a menos que se mantenga siempre la

$$\text{relación } q_1 + \frac{\pi}{2} = q_2$$

TP N° 2 - Análisis Dinámico de un Robot e implementación en FPGA.	Página 5 de 11
	Asade - Rosende - Villafañe

8. Por lo tanto $d_{12}(q) = d_{21}(q) = 0$, es decir que la matriz es diagonal y constante. Como consecuencia las ecuaciones dinámicas no contendrán ni las fuerzas de Coriolis ni las fuerzas Centrífugas.

9. Entonces la energía potencial queda:

$$P = g \sum_{i=1}^4 y_{Ci} = g \cdot \text{sen}(q_1) \cdot (m_1 l_{C1} + m_3 l_{C3} + m_4 l_1) + g \cdot \text{sen}(q_2) \cdot (m_2 l_{C2} + m_3 l_2 + m_4 l_{C4})$$

Reescribiendo:

$$\phi_1 = g \cdot \cos(q_1) \cdot (m_1 l_{C1} + m_3 l_{C3} + m_4 l_1) = 10 \frac{m}{s^2} \cdot \cos(q_1) \cdot 0.3375 \text{kg} \cdot m = 3.375 \text{N} \cdot m \cdot \cos(q_1)$$

$$\phi_2 = g \cdot \cos(q_2) \cdot (m_2 l_{C2} + m_3 l_2 + m_4 l_{C4}) = 10 \frac{m}{s^2} \cdot \cos(q_2) \cdot 0.20625 \text{kg} \cdot m = 2.0625 \text{N} \cdot m \cdot \cos(q_2)$$

10. Sabiendo que ϕ_1 depende solo de q_1 y que ϕ_2 depende solo de q_2 se puede reescribir:

$$d_{11} \ddot{q}_1 + \phi_1(q_1) = \tau_1$$

$$d_{22} \ddot{q}_2 + \phi_2(q_2) = \tau_2$$

$$\tau_1 = \ddot{q}_1 \cdot 0.0455 \text{kg} \cdot m^2 + 3.375 \text{N} \cdot m \cdot \cos(q_1)$$

$$\tau_2 = \ddot{q}_2 \cdot 0.013 \text{kg} \cdot m^2 + 2.0625 \text{N} \cdot m \cdot \cos(q_2)$$

11. Así es que se puede operar con q_1 y q_2 independientemente sin preocuparse por los ángulos. Considerando una trayectoria de tercer orden:

$$q_1 = q_0 + q_1 \cdot t + q_2 \cdot t^2 + q_3 \cdot t^3$$

$$q_2 = q_0 + q_1 \cdot t + q_2 \cdot t^2 + q_3 \cdot t^3 + \frac{\pi}{2}$$

$$\tau_1 = (\alpha + t \cdot q_3) \cdot 0.0455 \text{kg} \cdot m^2 + 3.375 \text{N} \cdot m \cdot \cos(q_1)$$

$$\tau_2 = (\alpha + t \cdot q_3) \cdot 0.013 \text{kg} \cdot m^2 + 2.0625 \text{N} \cdot m \cdot \cos(q_2)$$

Considerando el torque máximo:

$$\tau_1 = (\alpha + t \cdot q_3) \cdot 0.0455 \text{kg} \cdot m^2 + 3.375 \text{N} \cdot m$$

$$\tau_2 = (\alpha + t \cdot q_3) \cdot 0.013 \text{kg} \cdot m^2 + 2.0625 \text{N} \cdot m$$

Se estimo un servo motores de Scheneider (Lexium 05) con las siguientes especificaciones:

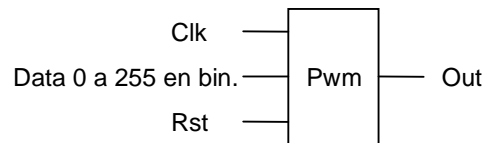
- Potencia 0.4 to 6 kW - Alimentación 115 V to 480 V
- Torque Nominal 0.5 to 36 Nm
- Velocidad nominal 1500 to 8000 min –1
- Baja inercia

Resultados de la simulación

Código y esquemas

Utilizando la función – Bloque PWM (pwm_fpga.vhd)

Modulo PWM – Funcion pwm_fpga.vhd



Programa pwm_prethb.vhd

```
LIBRARY ieee;
use ieee.std_logic_1164.all;
```

```
ENTITY pwm_fpga_test_bench IS
END pwm_fpga_test_bench;
```

```
ARCHITECTURE arch_test_bench OF pwm_fpga_test_bench IS
```

```
COMPONENT pwm_fpga
```

```
PORT (
    clock: in std_logic;
    reset: in std_logic;
    data_value: in std_logic_vector(7 downto 0);
    pwm: out std_logic
);
```

```
END COMPONENT;
```

```
-- Internal signal declaration
```

```
SIGNAL sig_clock : std_logic;
SIGNAL sig_reset1 : std_logic;
SIGNAL sig_reset2 : std_logic;
SIGNAL sig_reset3 : std_logic;
SIGNAL sig_data_value: std_logic_vector(7 downto 0);
SIGNAL sig_100 : std_logic_vector(7 downto 0);
SIGNAL sig_pwm1,sig_pwm2,sig_pwm3,sig_pwm4,sig_pwm5,sig_pwm6 : std_logic;
shared variable ENDSIM: boolean:=false;
constant clk_period:TIME:=100 ns;
```

```

BEGIN
clk_gen: process

    BEGIN
        If ENDSIM = FALSE THEN
            sig_clock <= '1';
            wait for clk_period/2;
            sig_clock <= '0';
            wait for clk_period/2;
        else
            wait;
        end if;
    end process;

-- Instancio los 6 pwm como modulos pwm_fpga

inst_pwm_fpga1 : pwm_fpga
PORT MAP(
    clock => sig_clock,
    reset => sig_reset1,
    data_value => sig_data_value,
    pwm => sig_pwm1
);

inst_pwm_fpga2 : pwm_fpga
PORT MAP(
    clock => sig_clock,
    reset => sig_reset2,
    data_value => sig_100,
    pwm => sig_pwm2
);
inst_pwm_fpga3 : pwm_fpga
PORT MAP(
    clock => sig_clock,
    reset => sig_reset2,
    data_value => sig_data_value,
    pwm => sig_pwm3
);
inst_pwm_fpga4 : pwm_fpga
PORT MAP(
    clock => sig_clock,
    reset => sig_reset3,
    data_value => sig_100,
    pwm => sig_pwm4
);

```

TP N° 2 - Análisis Dinámico de un Robot e implementación en FPGA.	Página 8 de 11
	Asade - Rosende - Villafañe

```
inst_pwm_fpga5 : pwm_fpga
PORT MAP(
    clock => sig_clock,
    reset => sig_reset3,
    data_value => sig_data_value,
    pwm => sig_pwm5
);
```

```
inst_pwm_fpga6 : pwm_fpga
PORT MAP(
    clock => sig_clock,
    reset => sig_reset1,
    data_value => sig_100,
    pwm => sig_pwm6
);
```

```
stimulus_process: PROCESS
```

```

    VARIABLE bit1,bit2,bit3,bit4,bit5,bit6,bit7,Aux : integer;
    BEGIN
        bit1:=0; -- Inicializo variables
        bit2:=0;
        bit3:=0;
        bit4:=0;
        bit5:=0;
        bit6:=0;
        bit7:=0;
        Aux:=0;
        sig_data_value <= "00000000"; -- Inicio variable de pwm
        sig_100 <= "00000001"; -- Inicio variable de 100%
        sig_reset1 <= '1'; -- todo en cero no da un duty del 100%, queda en 0
        sig_reset2 <= '1'; -- y no arranca
        sig_reset3 <= '1';
        wait for 100 ns;

        for I in 0 to 255 loop
            bit1:= bit1+1; -- incremento del vector binario 0 a 255
            bit2:= bit2+1;
            bit3:= bit3+1;
            bit4:= bit4+1;
            bit5:= bit5+1;
            bit6:= bit6+1;
            bit7:= bit7+1;
            sig_data_value(0) <= not sig_data_value(0);
            if(bit1 = 2) then
                sig_data_value(1) <= not sig_data_value(1);
                bit1:=0;
            end if;
        end loop;
    END;
```



```

if(bit2 = 4) then
    sig_data_value(2) <= not sig_data_value(2);
    bit2:=0;
end if;
if(bit3 = 8) then
    sig_data_value(3) <= not sig_data_value(3);
    bit3:=0;
end if;
if(bit4 = 16) then
    sig_data_value(4) <= not sig_data_value(4);
    bit4:=0;
end if;
if(bit5 = 32) then
    sig_data_value(5) <= not sig_data_value(5);
    bit5:=0;
end if;
if(bit6 = 64) then
    sig_data_value(6) <= not sig_data_value(6);
    bit6:=0;
end if;
if(bit7 = 128) then
    sig_data_value(7) <= not sig_data_value(7);
    bit7:=0;
end if;

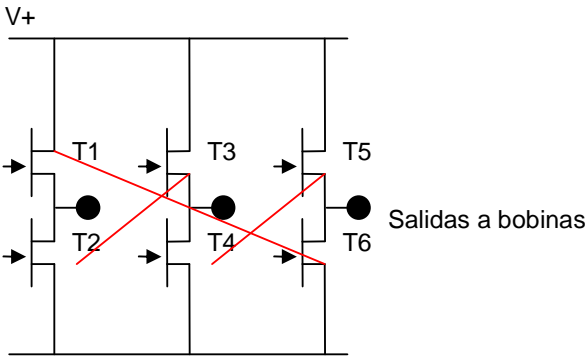
if(Aux = 0) then    -- Habilito cada rama del puente
    sig_reset1 <= '0';
    sig_reset2 <= '1';
    sig_reset3 <= '1';
end if;
if(Aux = 1) then
    sig_reset1 <= '1';
    sig_reset2 <= '0';
    sig_reset3 <= '1';
end if;
if(Aux = 2) then
    sig_reset1 <= '1';
    sig_reset2 <= '1';
    sig_reset3 <= '0';
end if;
Aux := Aux+1;
if(Aux = 3) then
    Aux:=0;
end if;
wait for 25600 ns; -- espero por 256 clocks para que se cumpla el periodo
                    -- del pwm
end loop;
sig_reset1 <= '1'; -- Reseteo cuando termino

```

```
sig_reset2 <= '1';
sig_reset3 <= '1';
wait;
END PROCESS stimulus_process;
END arch_test_bench;
```

Esquema de conexión

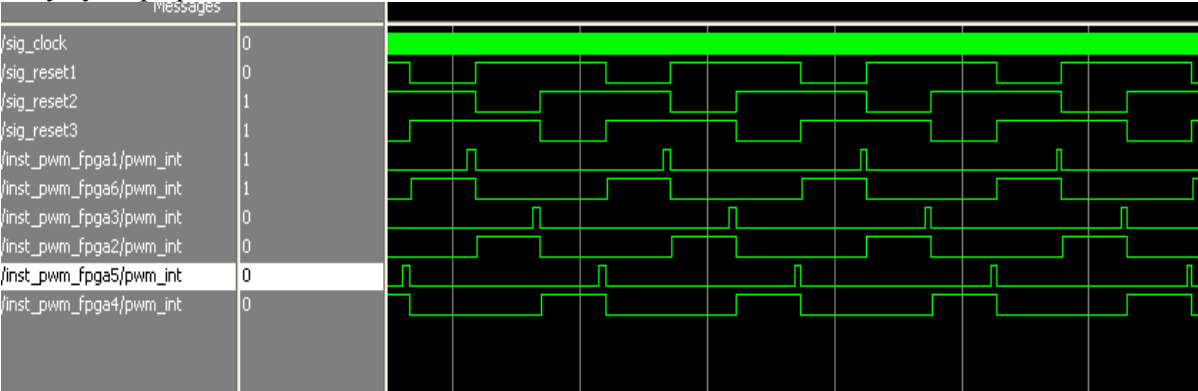
En el siguiente esquema podemos ver como es la circulación de corriente por los transistores. Vale la pena destacar que los transistores T1, T3 y T5 son los manejados por PWM, mientras que los T2, T4 y T6 actúan solamente como llaves (Pwm con 100% de duty cycle). Con color rojo se ven las líneas de conexión por donde cierran el circuito al motor y los puntos negros son los bornes de conexión para cada una de las bobinas del motor.



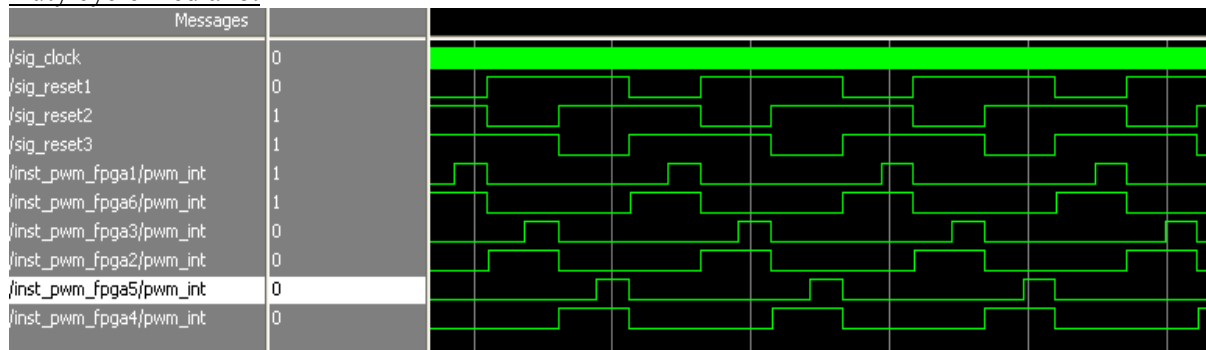
Resultados de la simulación

Como se puede apreciar en el código la simulación se realizo una rampa de valores de 0 a 255, esto hizo que no se permitiese ver todo el desplazamiento del duty cycle en la pantalla. Por lo tanto se tomaron 3 capturas, con el duty pequeño, mediano y grande. También se puede observar la habilitación de cada rama T2-T3 sig_reset2, T4-T5 sig_reset3 y T1-T6 sig_reset1.

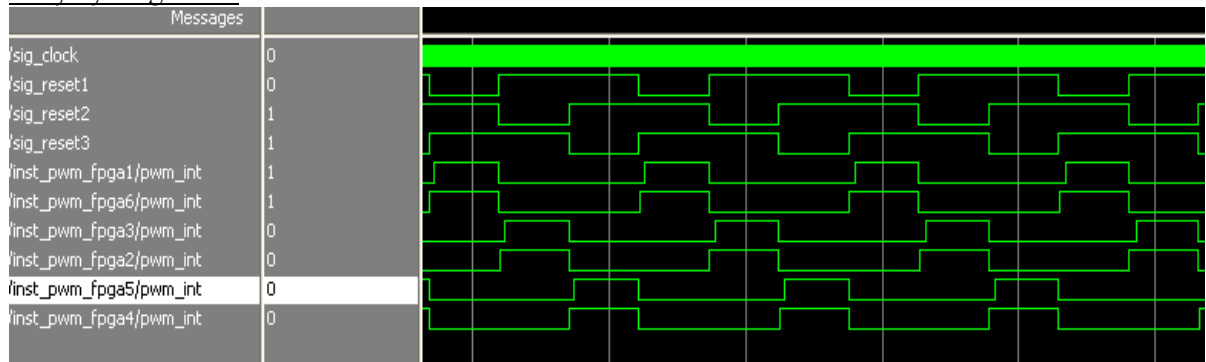
Duty cycle pequeño:



Duty cycle mediano:



Duty cycle grande:



Conclusiones finales.

Podemos concluir que el manipulador “Five Bar Linkage” es un sistema que presenta la ventaja de que al elegir correctamente la longitud de los lados que se puede operar q_1 y q_2 independientemente, sin preocuparse por las interacciones entre los dos ángulos. Además mediante las ecuaciones y valores de longitudes, masa y torque se puede determinar una aceleración máxima.

De la aplicación con el model Sim y VHDL, nos dimos cuenta es una herramienta de gran utilidad para programar y simular todo lo que tenga que ver con FPGA, aunque no logramos extendernos con profundidad sobre él. Se logro realizar el trabajo práctico, aunque seguro que se puede optimizar el código.